

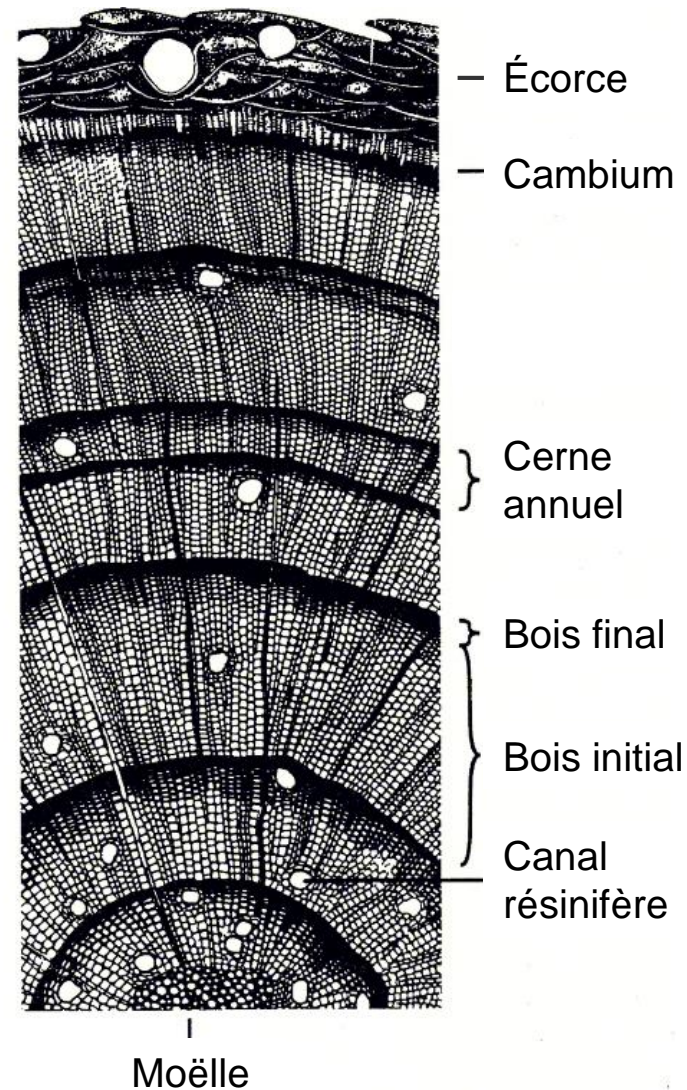
# TECHNIQUES ET RESSOURCES EN DENDROCHRONOLOGIE

Centre d'étude de la forêt

## En grec ancien

δένδρον	dendron	arbre
χρόνος	khronos	temps
-λογία	-logia	discours, l'étude de...

**Une méthode scientifique pour déterminer l'année de formation de cernes d'arbres.**



Adapté de Fritts (1976)

## Techniques et ressources

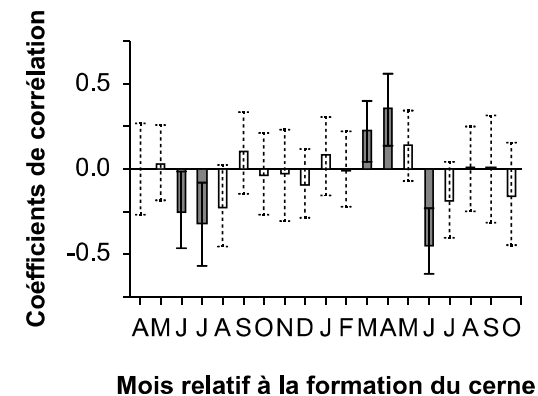
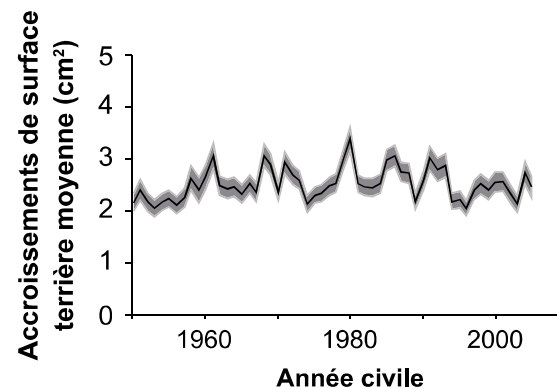
1. Forage
2. Artisanat et menuiserie
3. Capture d'image
4. Mesure d'épaisseur de cernes
5. Interdatation
6. Standardisation
7. Données climatiques
8. Associations climat-croissance
9. 'dplR' et 'treeclim' avec [R]
10. Exemple



Photo: A. Whittier



Photo: The Spokesman-Review



# 1. Forage



Composants principaux d'un foret (ou sonde) de Pressler:  
(a) le manche  
(b) la tarière  
(c) l'extracteur

Photo: D. Rubino



<https://www.youtube.com/watch?v=lwfi2HXGDJ0>

Ministère des Forêts, de la Faune et des Parcs (2014)

Pour visionner d'autres vidéos veuillez suivre:

<https://www.youtube.com/watch?v=OMQPDzuXYo0>

[https://www.youtube.com/watch?v=\\_uFnOSFYPUk](https://www.youtube.com/watch?v=_uFnOSFYPUk)

Dyer et al. (2013)

## 2. Artisanat et menuiserie



Photo: N. Zampieri

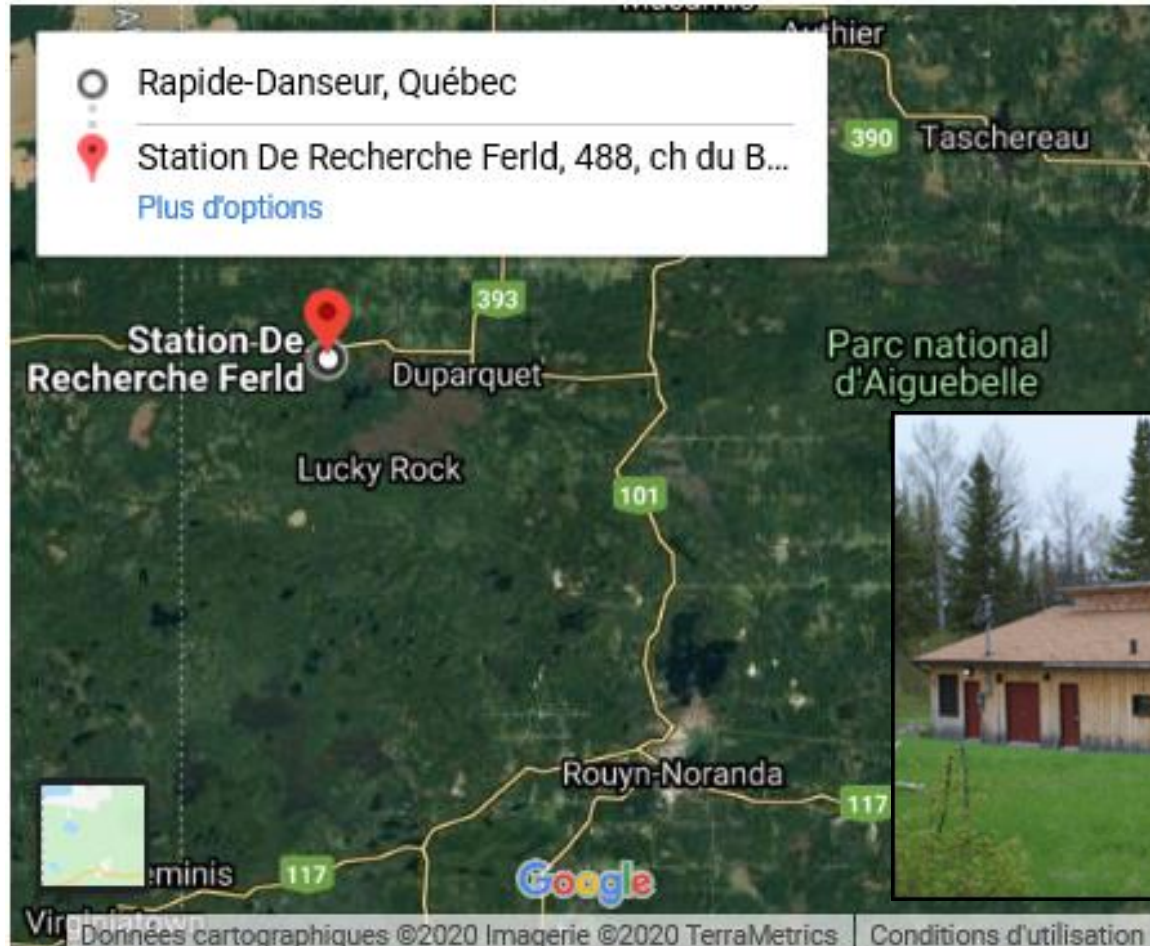


<https://www.youtube.com/watch?v=qgeP8SV70rE>  
Dyer et al. (2013)

## 2. Artisanat et menuiserie

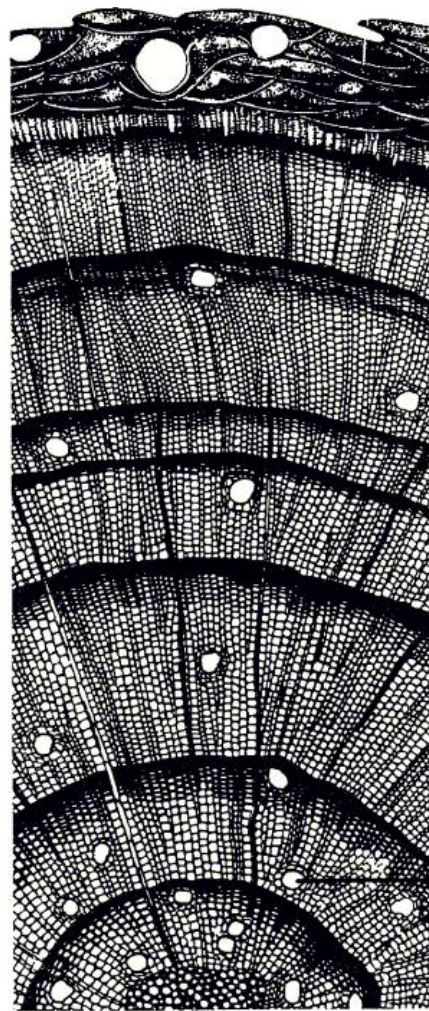
### Forêt d'enseignement et de recherche du lac Duparquet (Ferld)

<http://ferld.uqat.ca/>



Photos: Centre d'étude de la forêt

# 3. Capture d'image



— Écorce

— Cambium

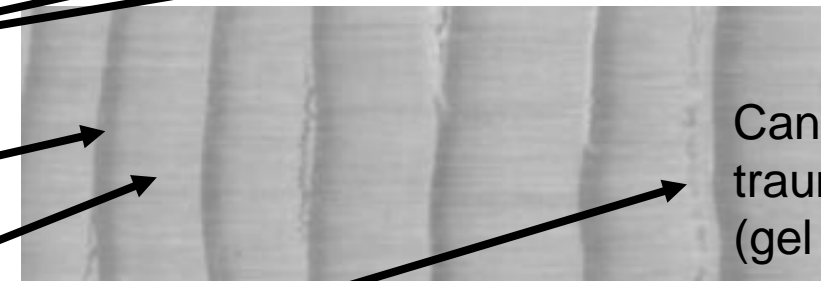
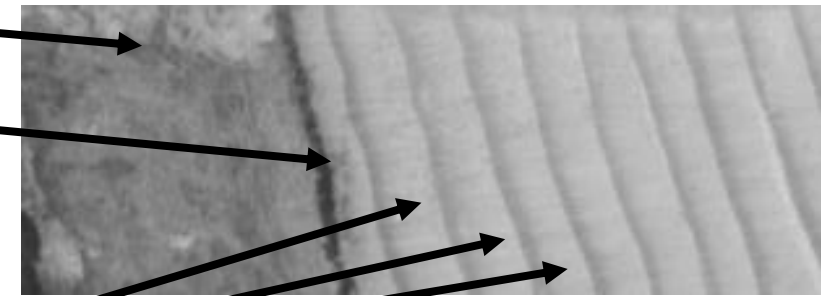
} Cerne annuel

} Bois final

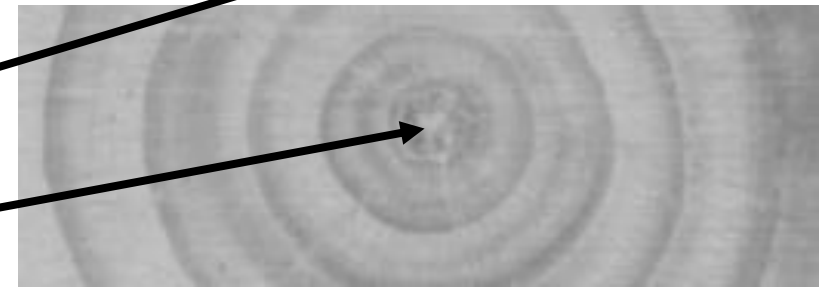
} Bois initial

Canal résinifère

Moëlle



Canaux résinifères  
traumatiques  
(gel printanier?)



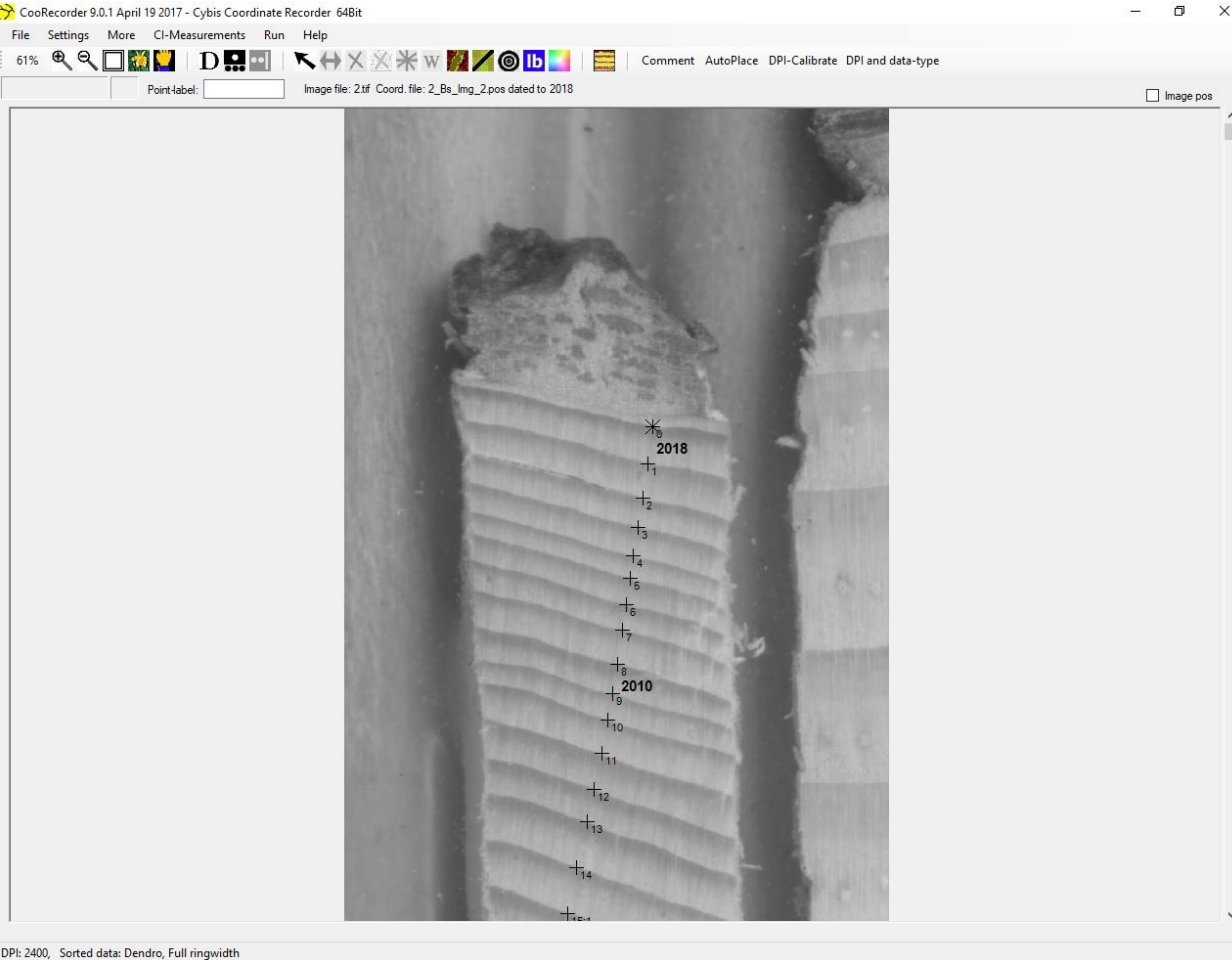
Photos: Centre d'étude de la forêt

Adapté de Fritts (1976)

# 4. Mesure d'épaisseur de cernes

Mesure de l'épaisseur (largeur) de chaque cerne :

- Travail minutieux et répétitif mais en partie automatisé
- Marquage et calcul de la distance entre deux marqueurs
- Pour chaque carotte, on obtient une série d'épaisseurs



<https://www.cybis.se/forfun/dendro/helpcoorecorder7/index.php>

<https://www.cybis.se/forfun/dendro/>

Larsson (2017)

# 4. Mesure d'épaisseur de cernes

**Forêt d'enseignement et de recherche du lac Duparquet (FerId)**  
<http://ferId.uqat.ca/laboDendro/LaboDendroF.htm>



Photos: Centre d'étude de la forêt

# 5. Interdatation



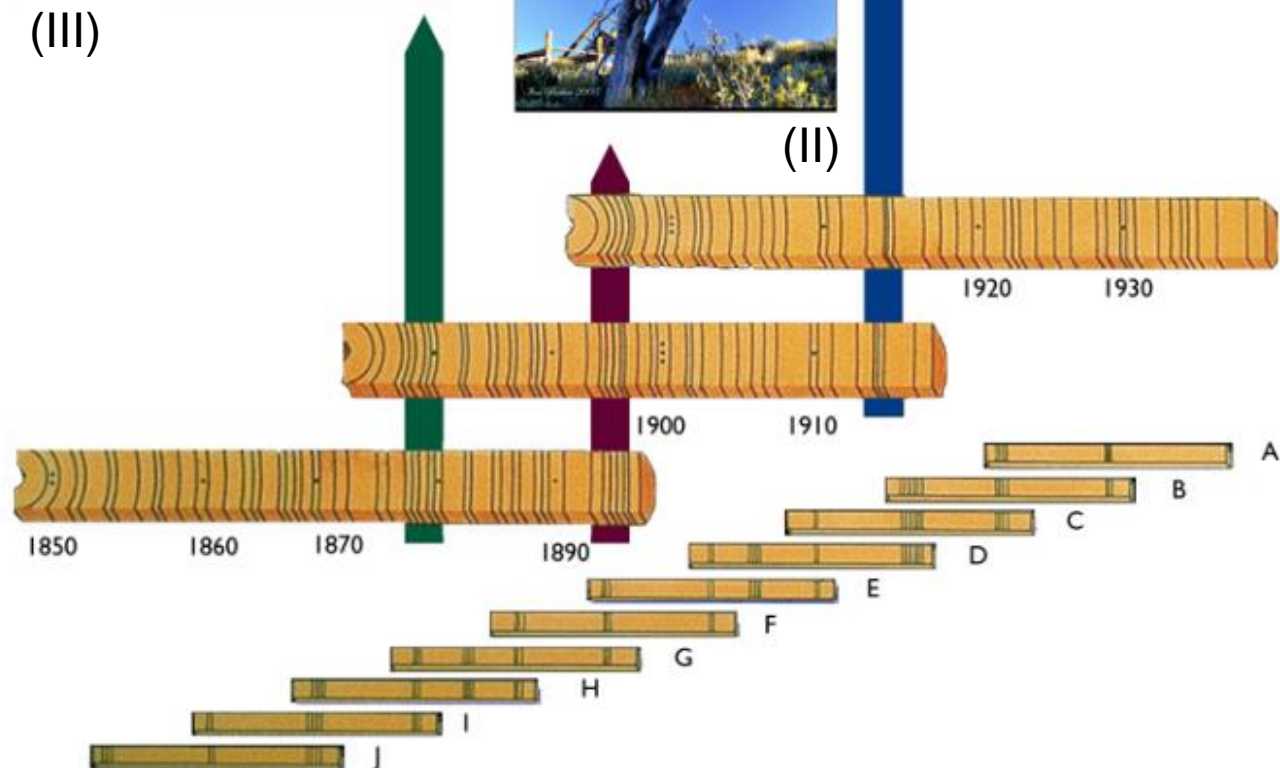
(III)



(II)



(I)



« Comparer les patrons des cernes »

« Exemple : Datation d'une ruine

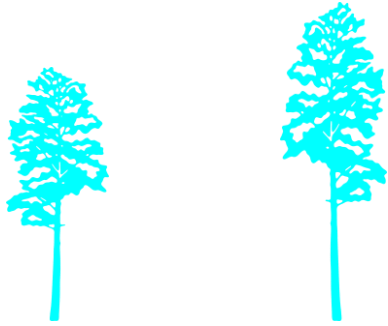
- Développer une chronologie à partir de carottes d'arbres vivants situés proche de la ruine (I)
- Étendre la chronologie en utilisant des carottes d'arbres morts situés dans la zone d'étude (II)
- Extraire des carottes des poutres de bois dans la ruine (III) et comparer les patrons des cernes.»

Images: Kipfmüller and Swetnam (2001)

Images et texte: Corona (2015)

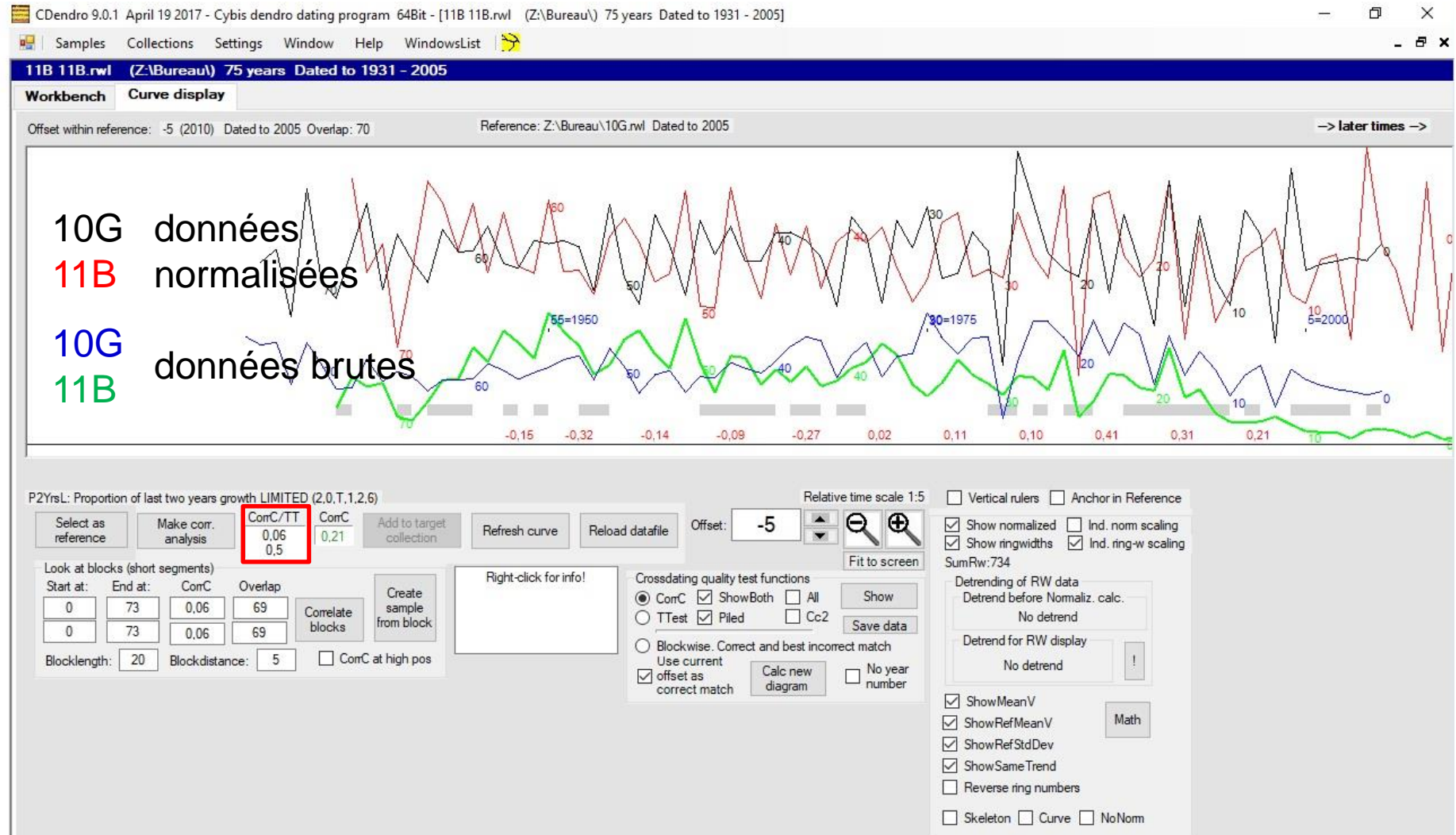
<http://christophe-corona.com/dendro/dendrochronology/interdatation/>

# 5. Interdatation (CDendro)

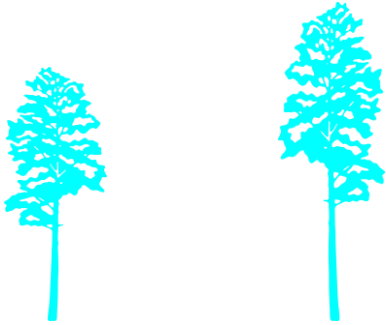


Deux carottes = deux series  
(10G et 11B)

Manque de concordance  
entre l'épaisseur des cernes:  
corrélation = 0.06



# 5. Interdatation (CDendro)

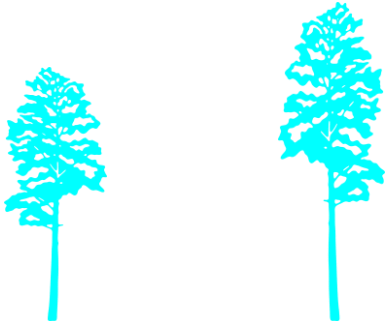


Manque de concordance:  
corrélation = -0.14

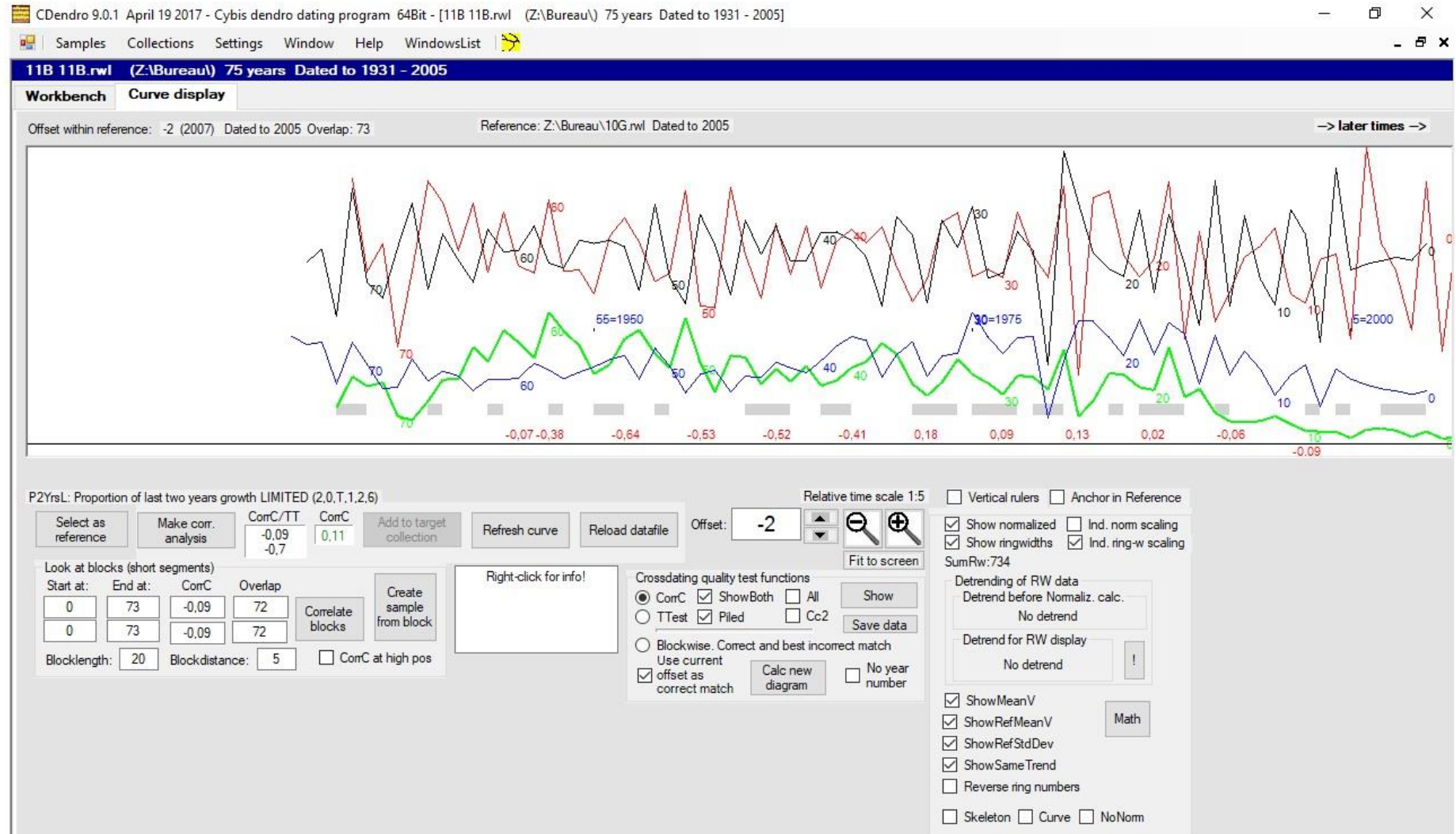




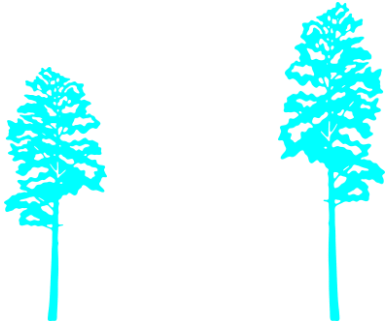
# 5. Interdatation (CDendro)



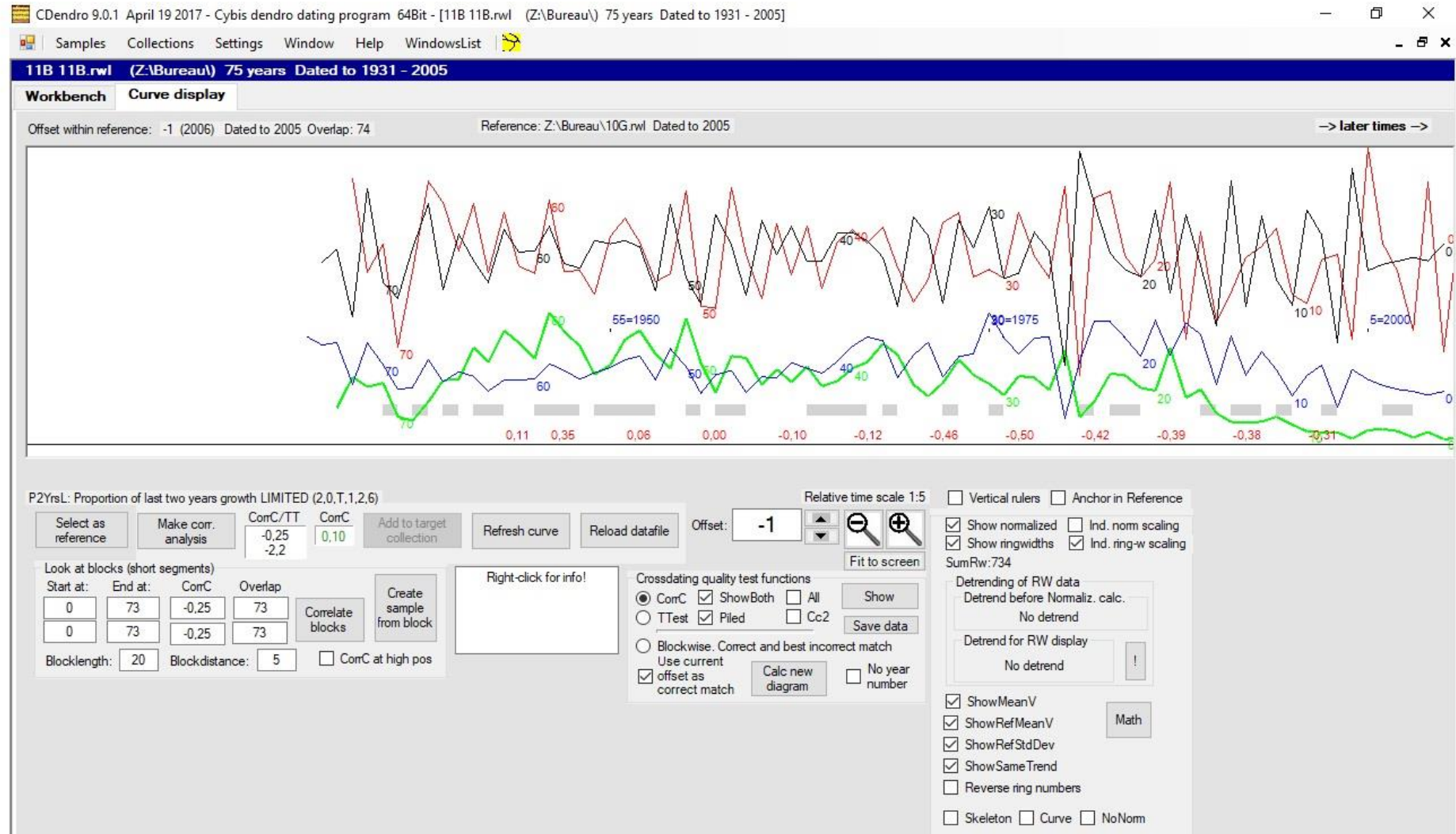
Manque de concordance:  
corrélation = -0.09



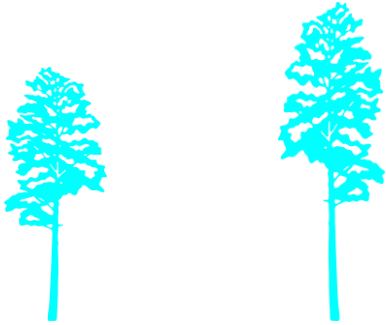
# 5. Interdatation (CDendro)



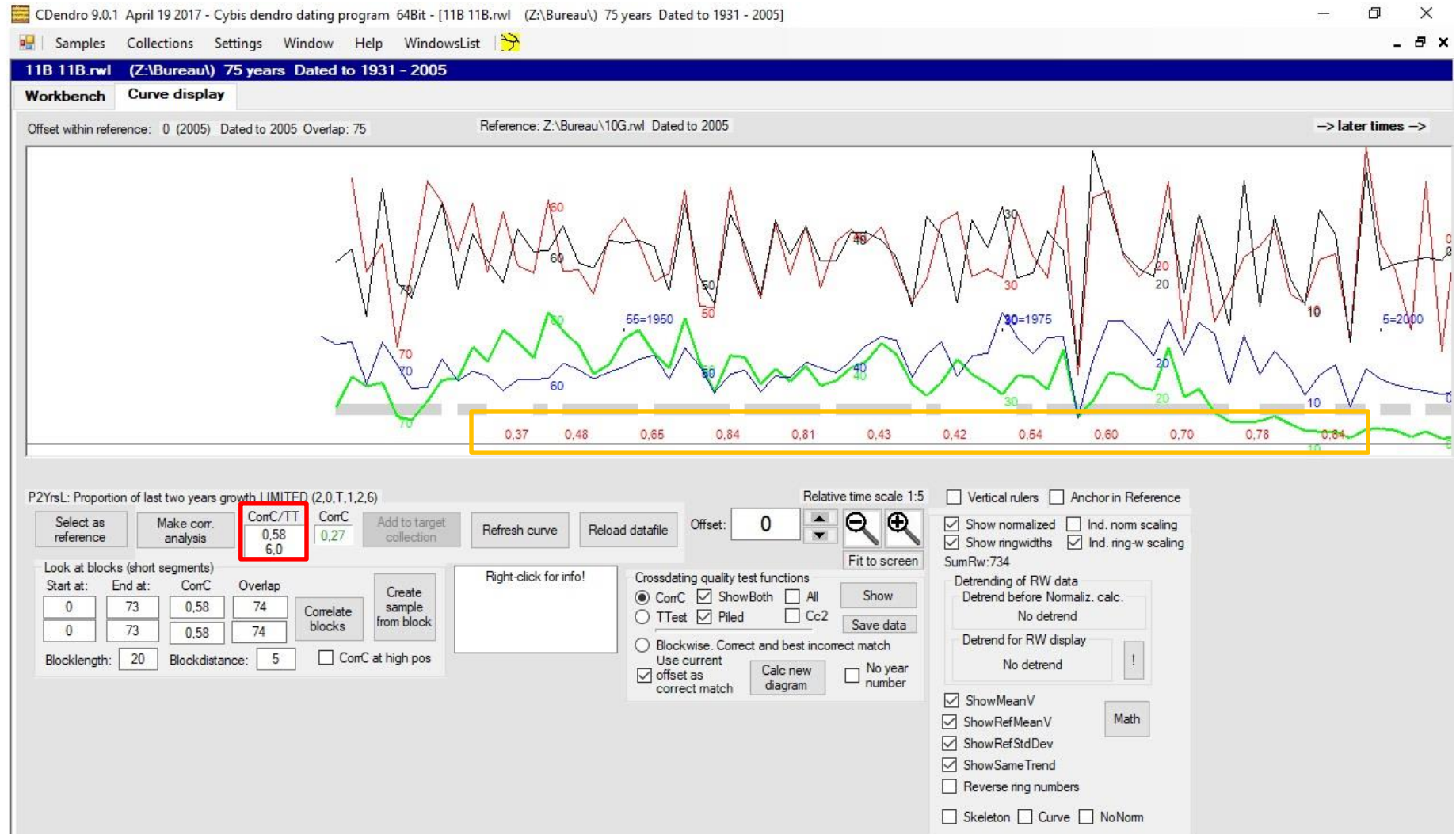
Manque de concordance:  
corrélation = -0.25



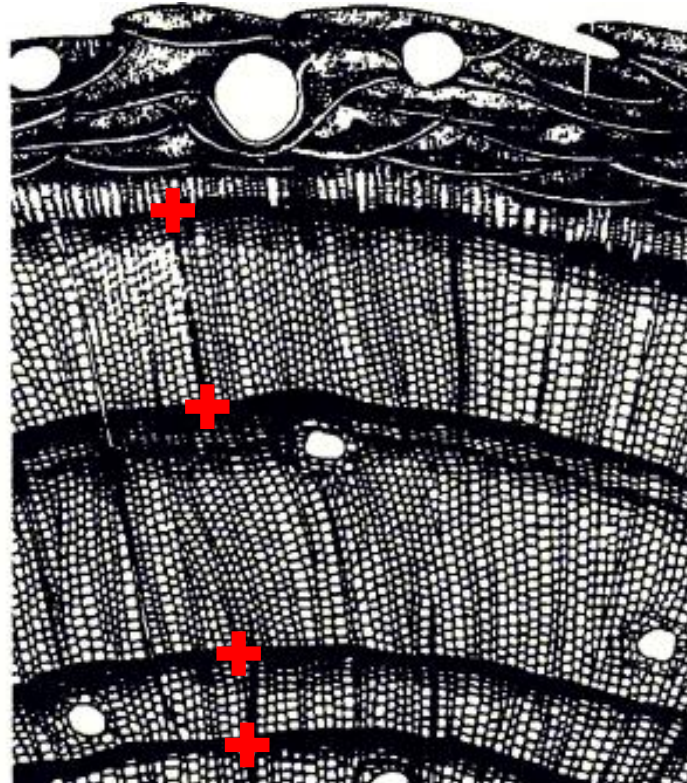
# 5. Interdatation (CDendro)



Concordance:  
corrélacion élevée = 0.58



# 5. Interdatation (faux cernes et cernes manquants)

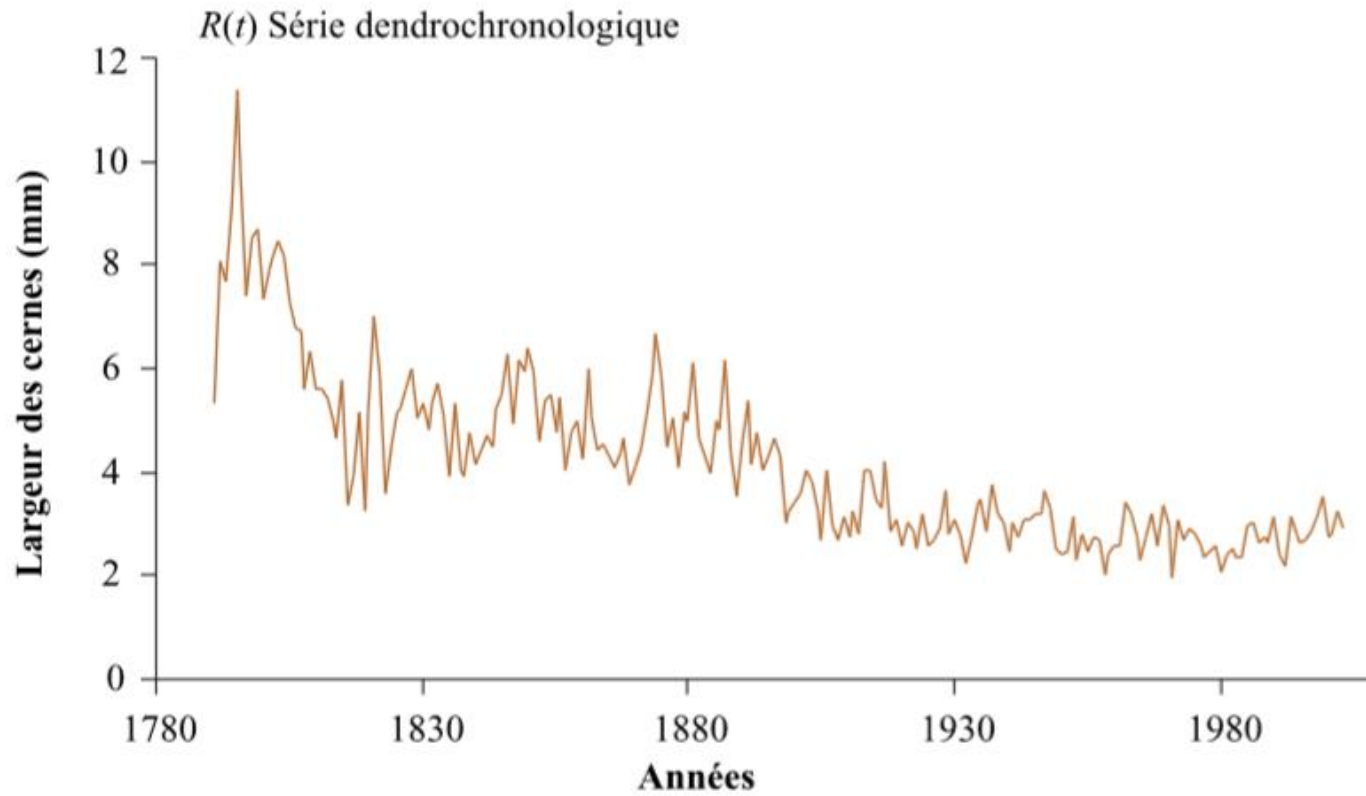


— Faux  
cerne

Adapté de Fritts (1976)

# 6. Standardisation

$R_t$  = la série de cernes observée



# 6. Standardisation

$$R_t = A_t + C_t + \delta D1_t + \delta D2_t + E_t$$

$R_t$  = la série de cernes observée,

$A_t$  = la tendance liée à l'âge,

$C_t$  = le signal climatique,

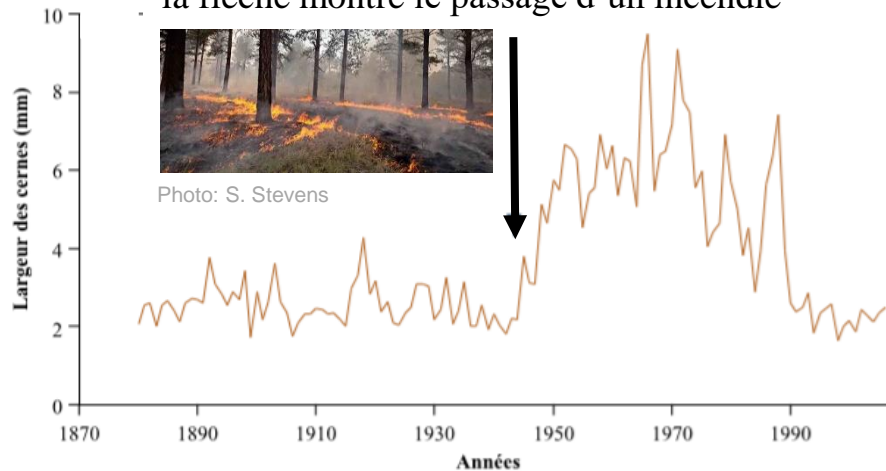
$\delta D1_t$  = les perturbations endogènes et les perturbations locales,

$\delta D2_t$  = les perturbations exogènes à l'échelle du site et

$E_t$  = l'ensemble de la variabilité interannuelle non expliquée et non reliée aux autres signaux.

Cook (1985)  
Nicault et al. (2010)

“Courbe montrant un signal de type  $D2$ ;  
la flèche montre le passage d'un incendie”

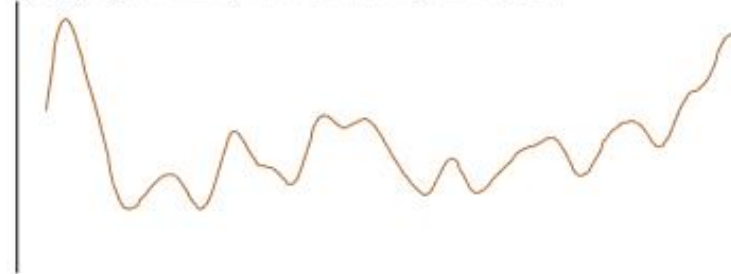


Nicault et al. (2010)

a)  $A(t)$  Signal lié à l'âge



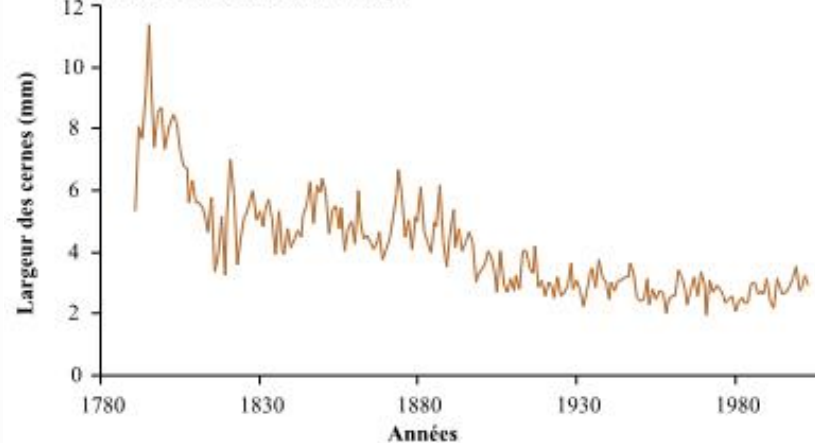
b)  $C1(t)$  Signal climatique de basse et de moyenne fréquence



c)  $C2(t)$  Signal climatique de haute fréquence

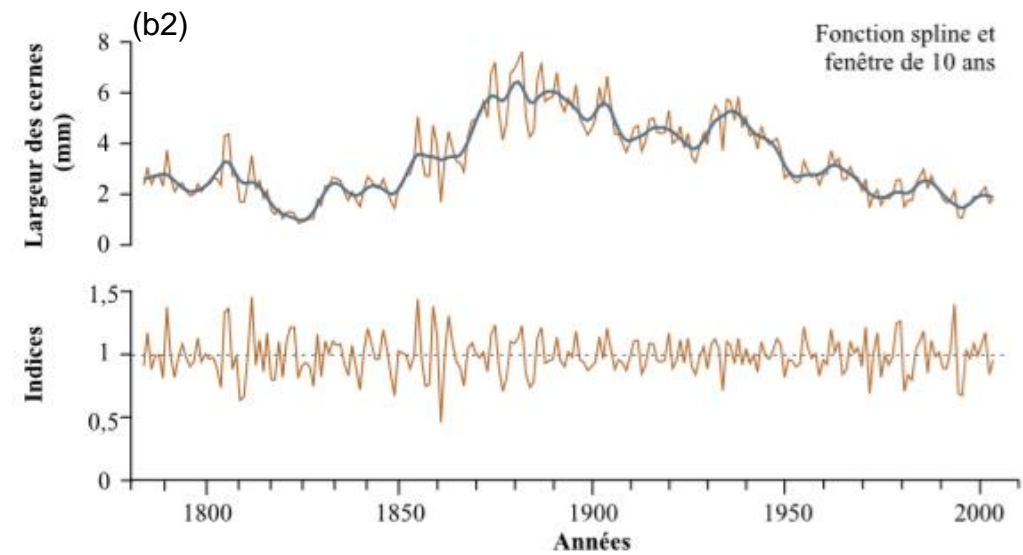
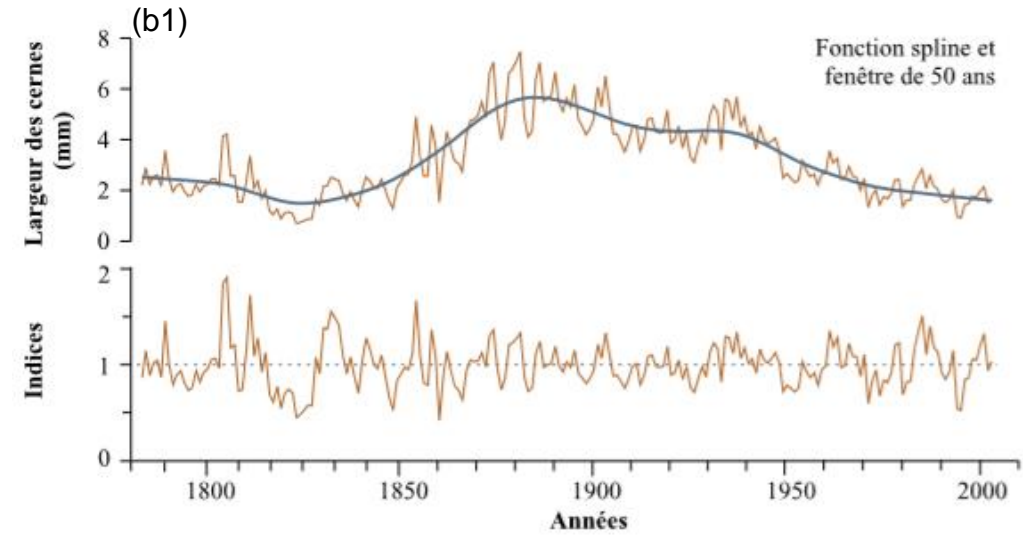
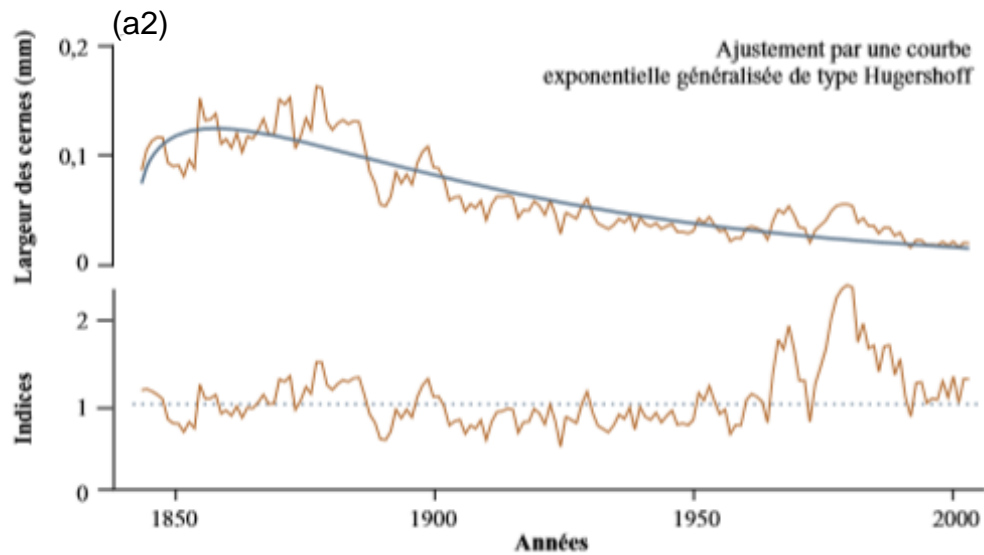
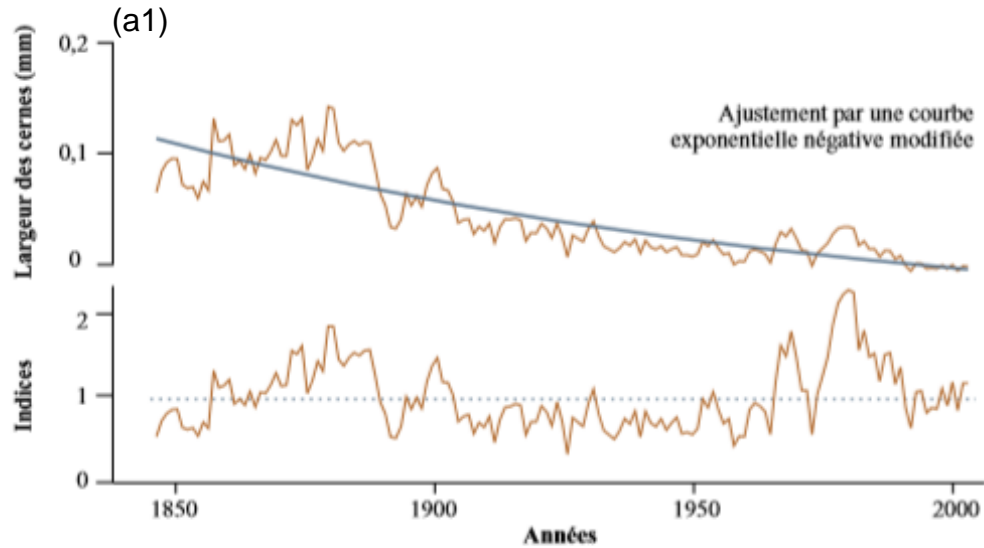


d)  $R(t)$  Série dendrochronologique



Nicault et al. (2010)

# 6. Standardisation



# 7. Données climatiques

ClimateAP\_v2.20 Copyright (2019) UBC. All rights reserved.

**Single location**  Decimal  Degree About Help

Latitude:  Elevation (m):   
Longitude:

Start

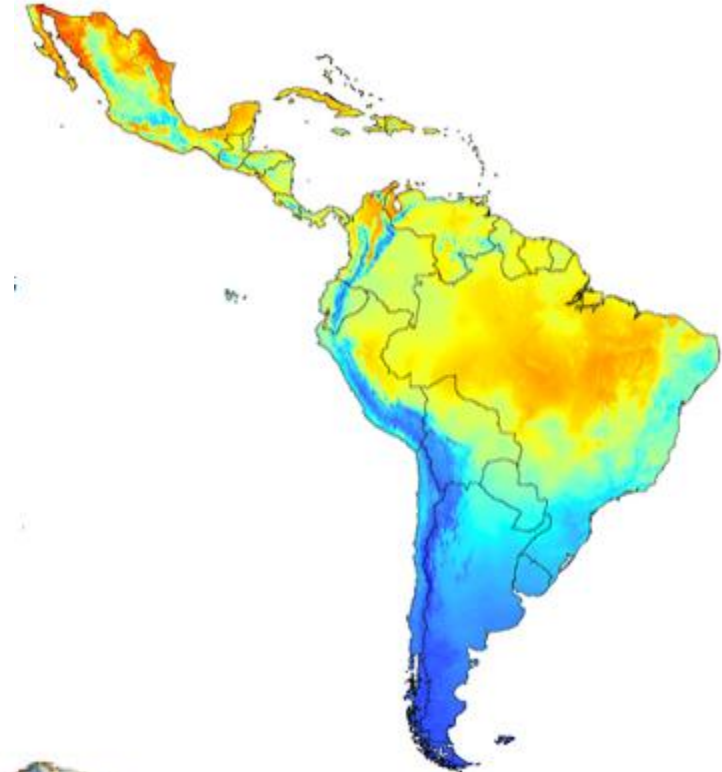
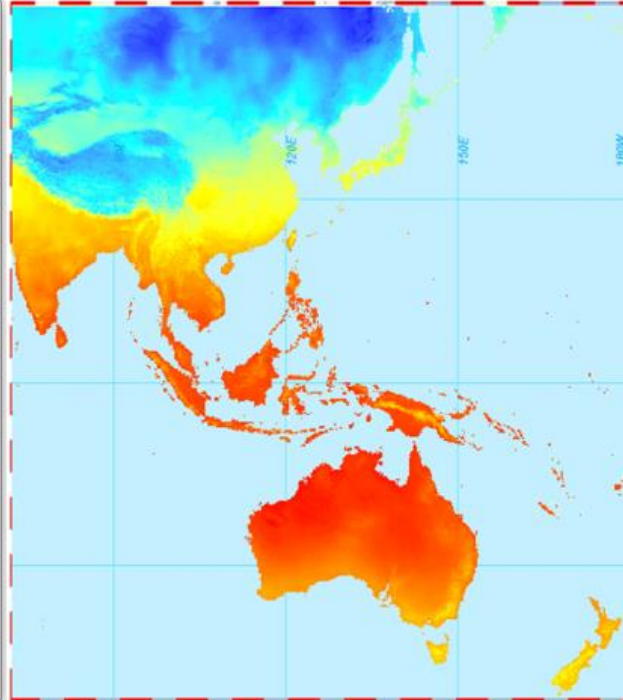
Annual variables	Seasonal variables	Monthly variables
MAT = 0.9	Tmax_DJF = -11.8	Tmax(01) = -14.1
MWMT = 19.6	Tmax_MAM = 9.1	Tmax(02) = -9.9
MCMT = -19.8	Tmax_JJA = 24.7	Tmax(03) = -0.6
TD = 39.4	Tmax_SON = 7.7	Tmax(04) = 9.8
MAP = 256	Tmin_DJF = -23.6	Tmax(05) = 18.2
AHM = 42.4	Tmin_MAM = -5.4	Tmax(06) = 24
DD<0 = 2107	Tmin_JJA = 11.4	Tmax(07) = 26
DD>5 = 1590	Tmin_SON = -5.2	Tmax(08) = 24
DD<18 = 6227	Tave_DJF = -17.7	Tmax(09) = 17.7
DD>18 = 114	Tave_MAM = 1.9	Tmax(10) = 8.4
NFFD = 148	Tave_JJA = 18.1	Tmax(11) = -3.1
PAS = 22	Tave_SON = 1.3	Tmax(12) = -11.2
EMT = -34.4	PPT_DJF = 7	Tmin(01) = -25.4
EXT = 32.8	PPT_MAM = 25	Tmin(02) = -23.3

Save

**Multi-location**

Select input file Specify output file Start

Status



<http://web.climateap.net/>

<https://sites.ualberta.ca/~ahamann/data/climatesa.html>

<https://sites.ualberta.ca/~ahamann/data/climateeu.html>

Hamann et al. (2013); Wang et al. (2016, 2017)

# 7. Données climatiques (ClimateNA)



<http://www.climatewna.com/default.aspx>

<http://climatena.ca/>

Wang et al. (2016)

Région

Formats Administration

Format : Anglais (Canada)

Préférences linguistiques

Formats de date et d'heure

Date courte : aaaa-MM-jj

Date longue : MMMM j, aaaa

Heure courte : h:mm tt

Heure longue : h:mm:ss tt

Premier jour de la semaine : Sunday

Exemples

Date courte : 2020-06-15

Date longue : June 15, 2020

Heure courte : 1:26 PM

Heure longue : 1:26:59 PM

Paramètres supplémentaires...

OK Annuler Appliquer

Image: Microsoft Windows (2020)

# 8. Associations climat-croissance

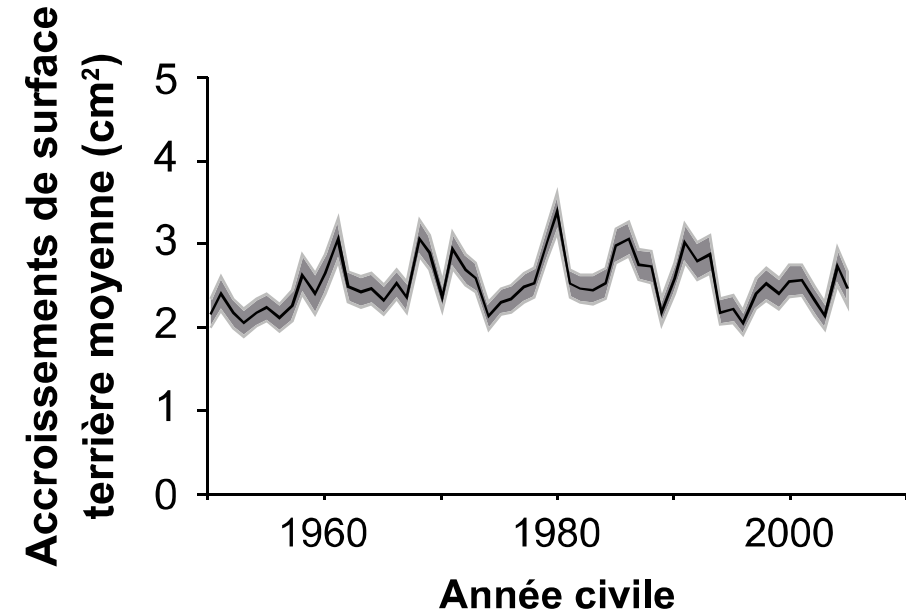
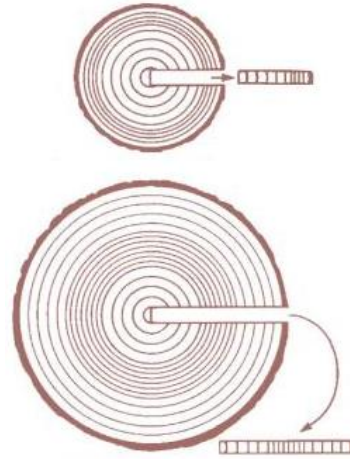


Image: Centre d'étude de la forêt



Images: M. Megalos



Photo: R. Chavardès

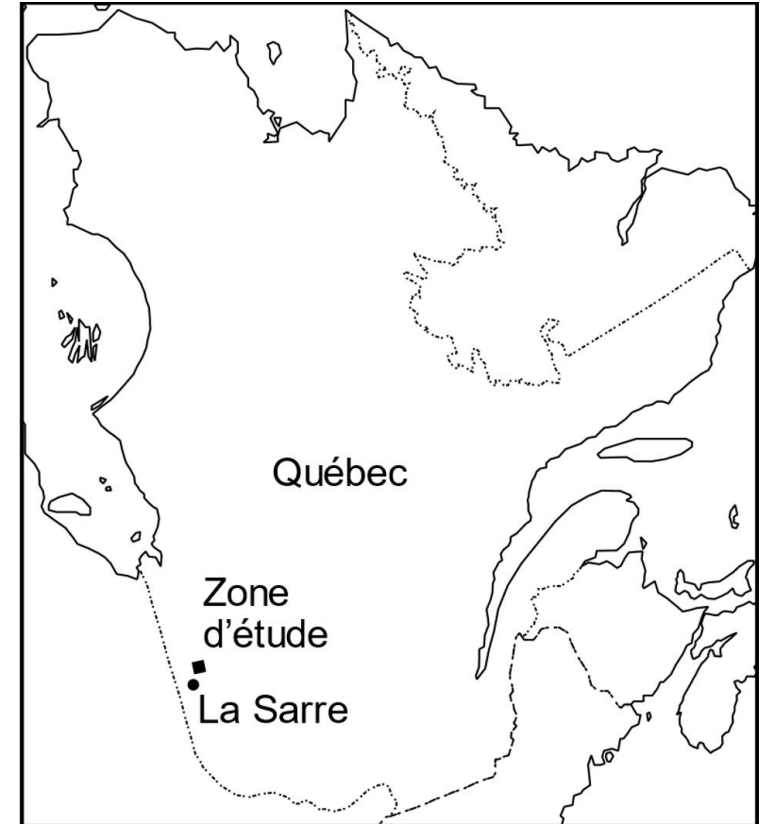


Image: R. Chavardès

Peuplements de *P. mariana*  
(n = 8)

# 8. Associations climat-croissance

Fonctions de corrélation entre les températures moyennes mensuelles (La Sarre) et une chronologie d'accroissement de la surface terrière de *P. mariana* dans des peuplements purs.

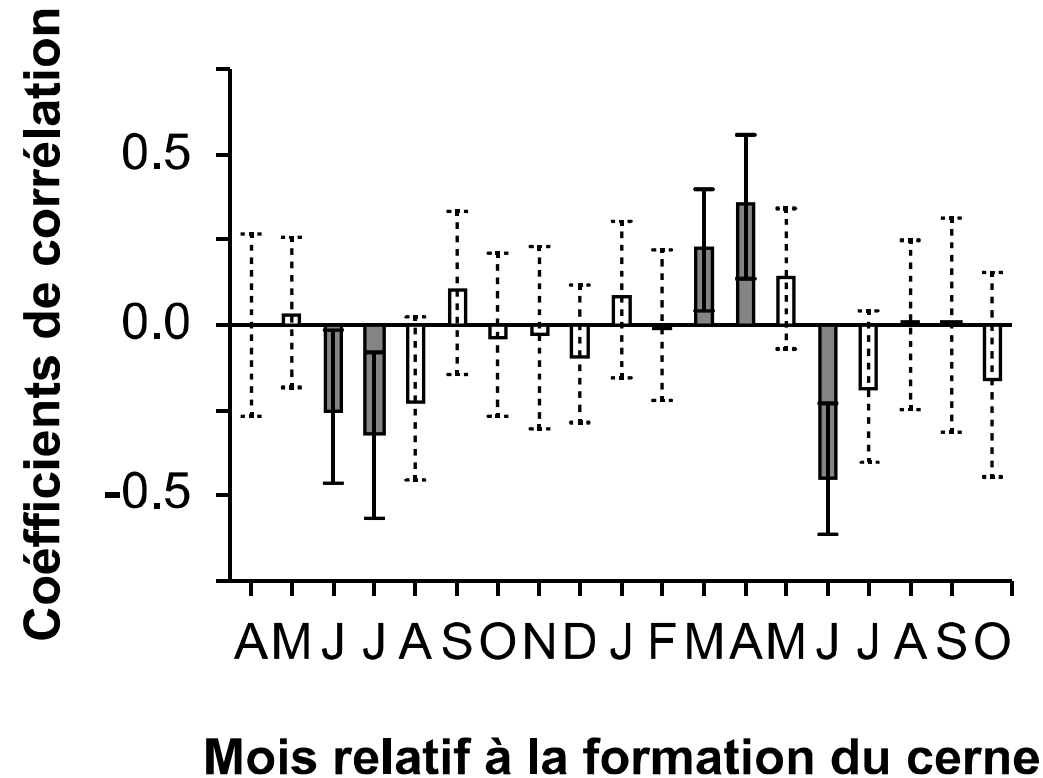
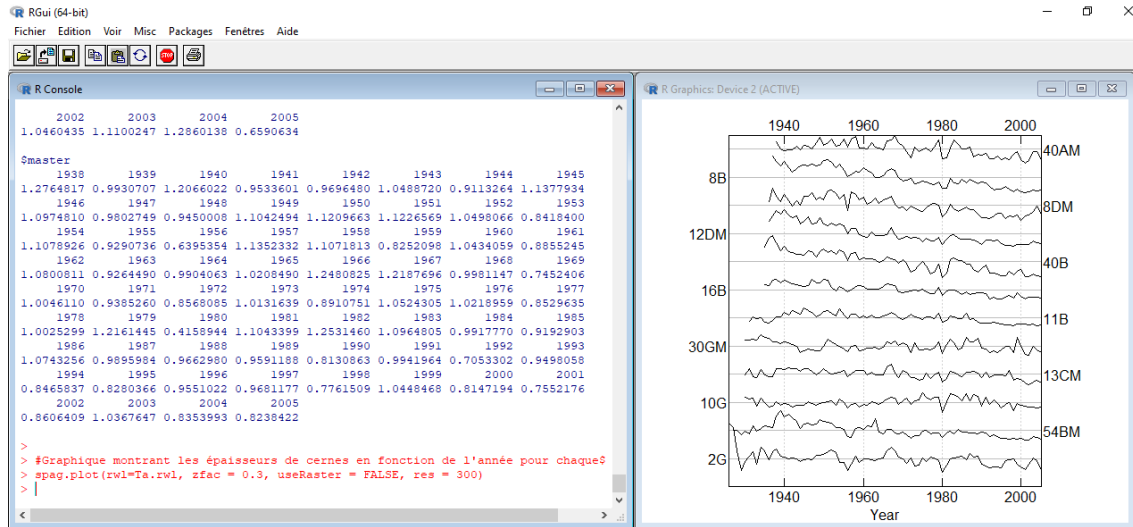
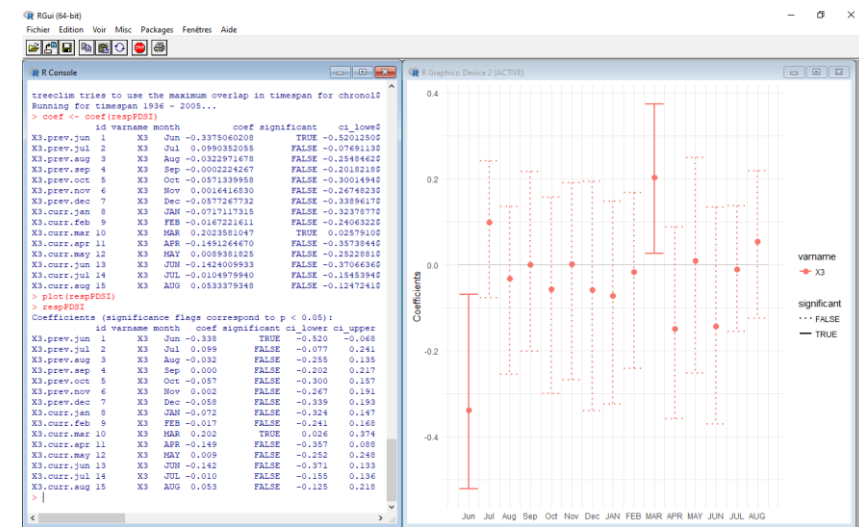


Image: Centre d'étude de la forêt

# 9. 'dpIR' et 'treeclim' avec [R]



<https://cran.r-project.org/web/packages/dpIR/index.html>  
R Core Team (2018)  
Bunn and Korpela (2020)

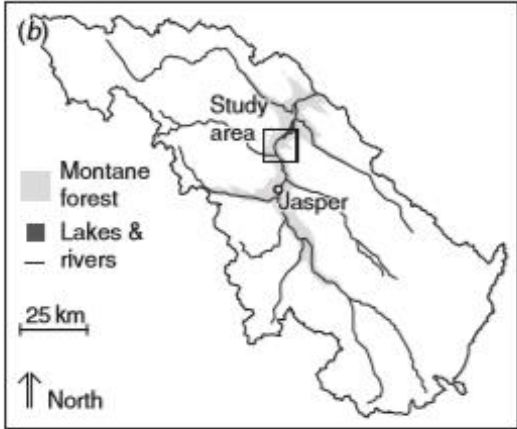


<https://cran.r-project.org/web/packages/treeclim/treeclim.pdf>  
Zang and Biondi (2019)

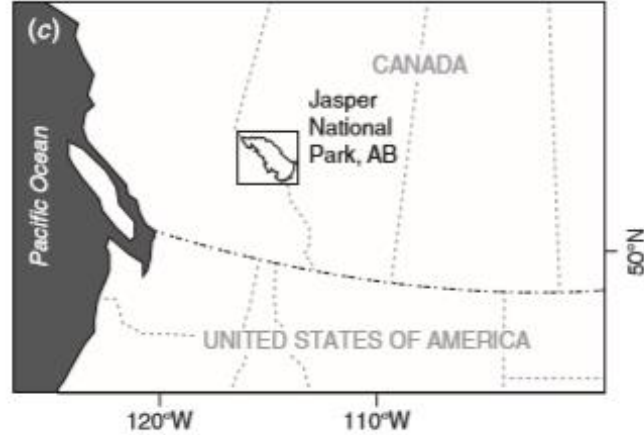
Ressources (An introduction to dpIR; Chronology building in dpIR; Crossdating in dpIR; A dendrochronology program library in R (dpIR); Statistical and visual crossdating in R using the dpIR library; Time series analysis in dpIR)

- <https://cran.r-project.org/web/packages/dpIR/vignettes/intro-dpIR.pdf>
- <https://cran.r-project.org/web/packages/dpIR/vignettes/chron-dpIR.pdf>
- <https://cran.r-project.org/web/packages/dpIR/vignettes/xdate-dpIR.pdf>
- <https://www.sciencedirect.com/science/article/pii/S1125786508000350?via%3Dihub>
- <https://www.sciencedirect.com/science/article/pii/S1125786510000172?via%3Dihub>
- <https://cran.r-project.org/web/packages/dpIR/vignettes/timeseries-dpIR.pdf>

# 9. 'dplr' et 'treeclim' avec [R]



Chavardès and Daniels (2016)



Photos: Tree-Ring Lab @ UBC (2013)



Photos: fRI Research



Photo: S. Stevens



Photo: B. Stocks

# 10. Exemple

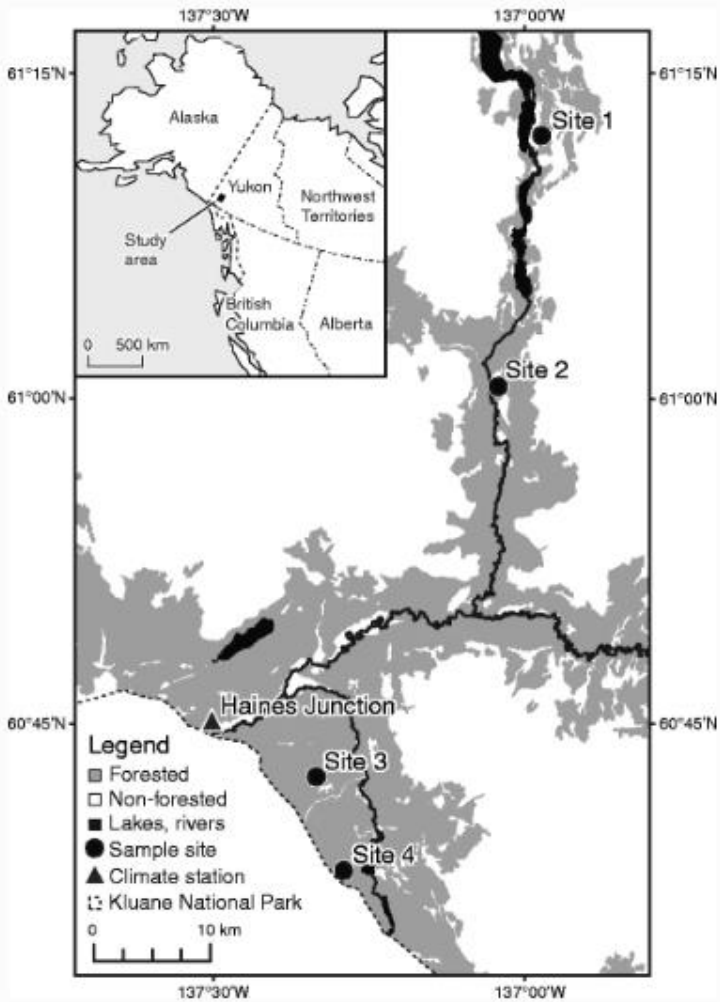


Photo: J. Robert



Photo: Radio-Canada



Photo: P. Waeber

The same standardization procedure was applied to all four sites. First, to account for the non-climatic, age-related trend in ring widths of our relatively young trees, we fit a negative exponential curve or linear regression through each ring-width series.

Sites 1, 2, 3 and 4 near Haines Junction in the Champagne and Aishihik Traditional Territory, southwest Yukon

# 10. Exemple

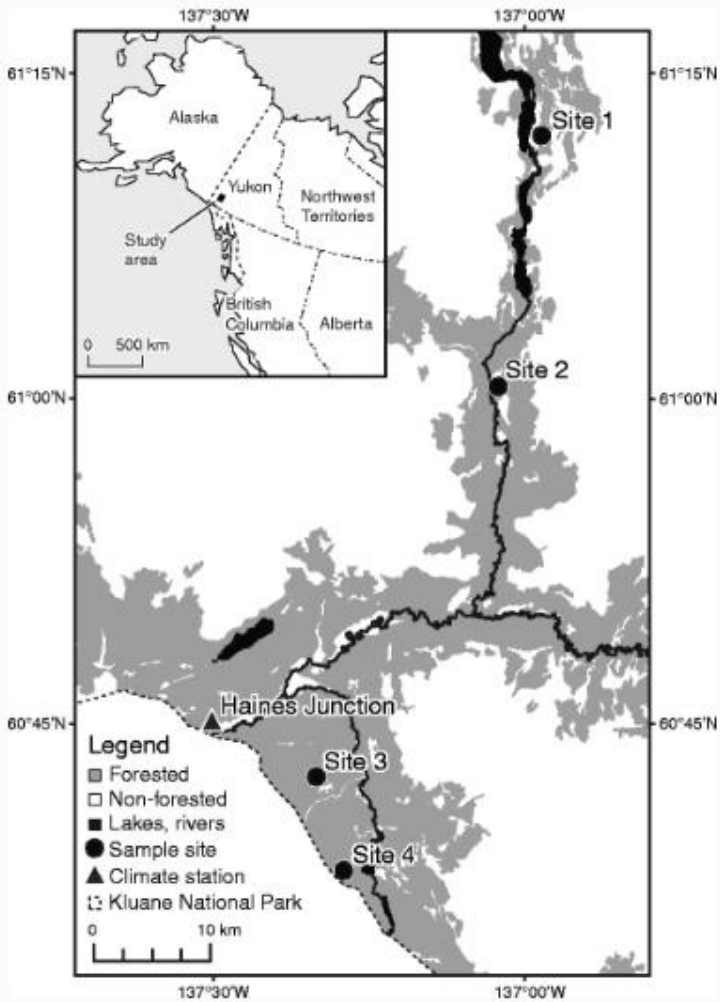


Photo: J. Robert



Photo: Radio-Canada



Photo: P. Waeber

The same standardization procedure was applied to all four sites. First, to account for the non-climatic, age-related trend in ring widths of our relatively young trees, we fit a negative exponential curve or linear regression through each ring-width series. We applied a second detrending to account for potential variation due to stand-level disturbance from spruce bark beetle by using a 60-year spline with a 50 % frequency response.

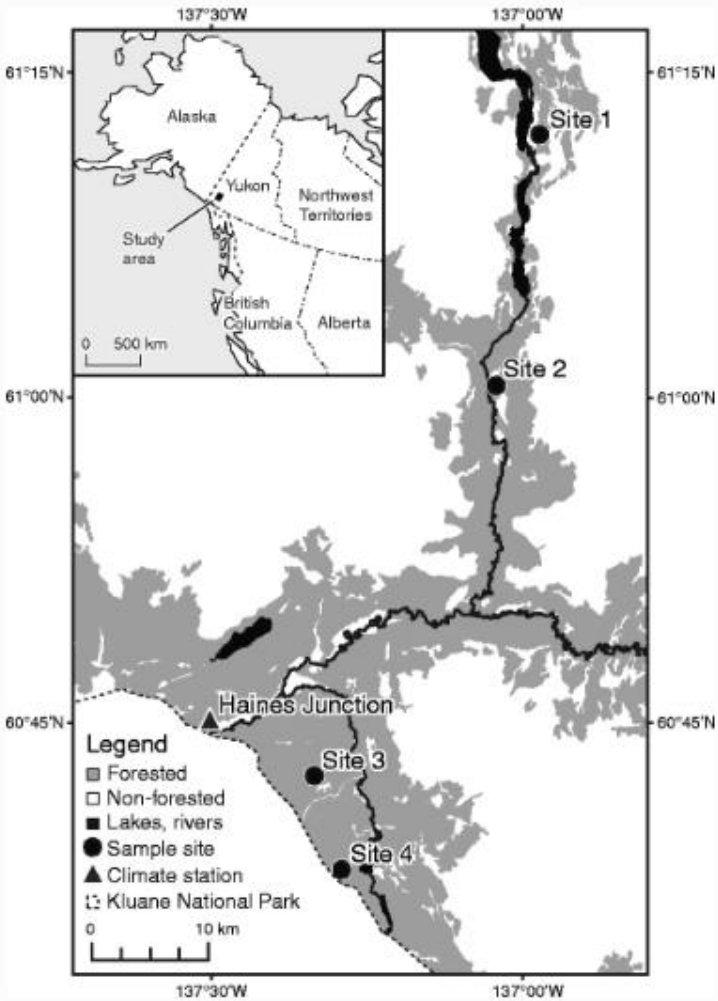


Photo: R. Bowmer, Associated Press

Sites 1, 2, 3 and 4 near Haines Junction in the Champagne and Aishihik Traditional Territory, southwest Yukon

Chavardès et al. (2013)

# 10. Exemple



Sites 1, 2, 3 and 4 near Haines Junction in the Champagne and Aishihik Traditional Territory, southwest Yukon

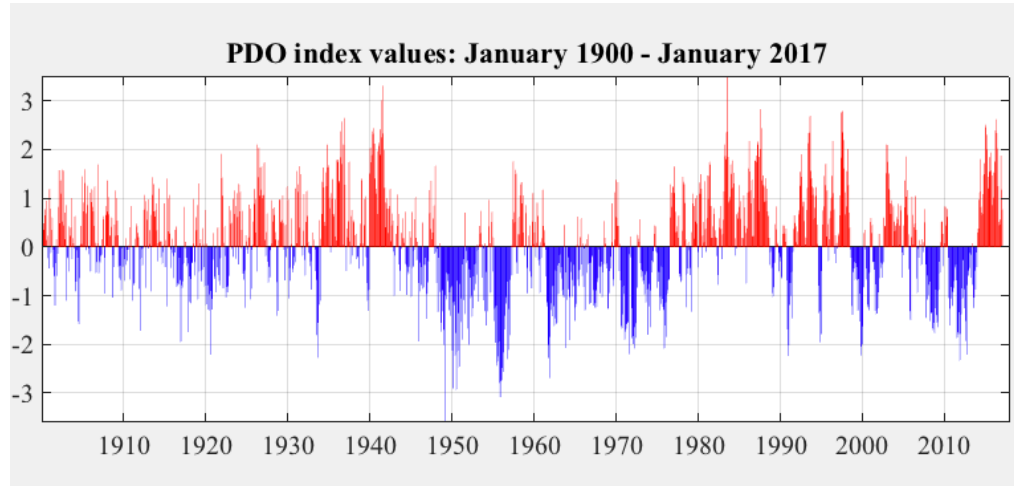
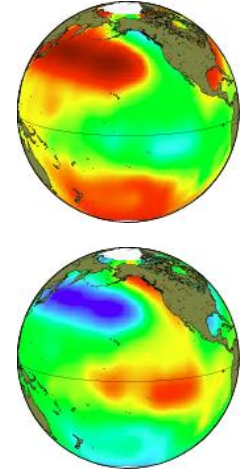


Image: Joint Institute for the Study of the Atmosphere and Ocean; University of Washington



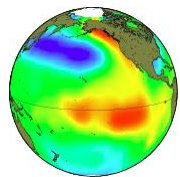
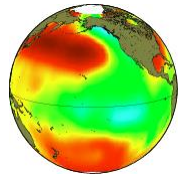
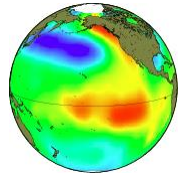
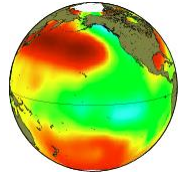
Images: N. Mantua

The same standardization procedure was applied to all four sites. First, to account for the non-climatic, age-related trend in ring widths of our relatively young trees, we fit a negative exponential curve or linear regression through each ring-width series. We applied a second detrending to account for potential variation due to stand-level disturbance from spruce bark beetle by using a 60-year spline with a 50 % frequency response. This conservative spline preserves >95 % of the variation in each ring-width series at a wavelengths <31 years, the period of interest in our study.

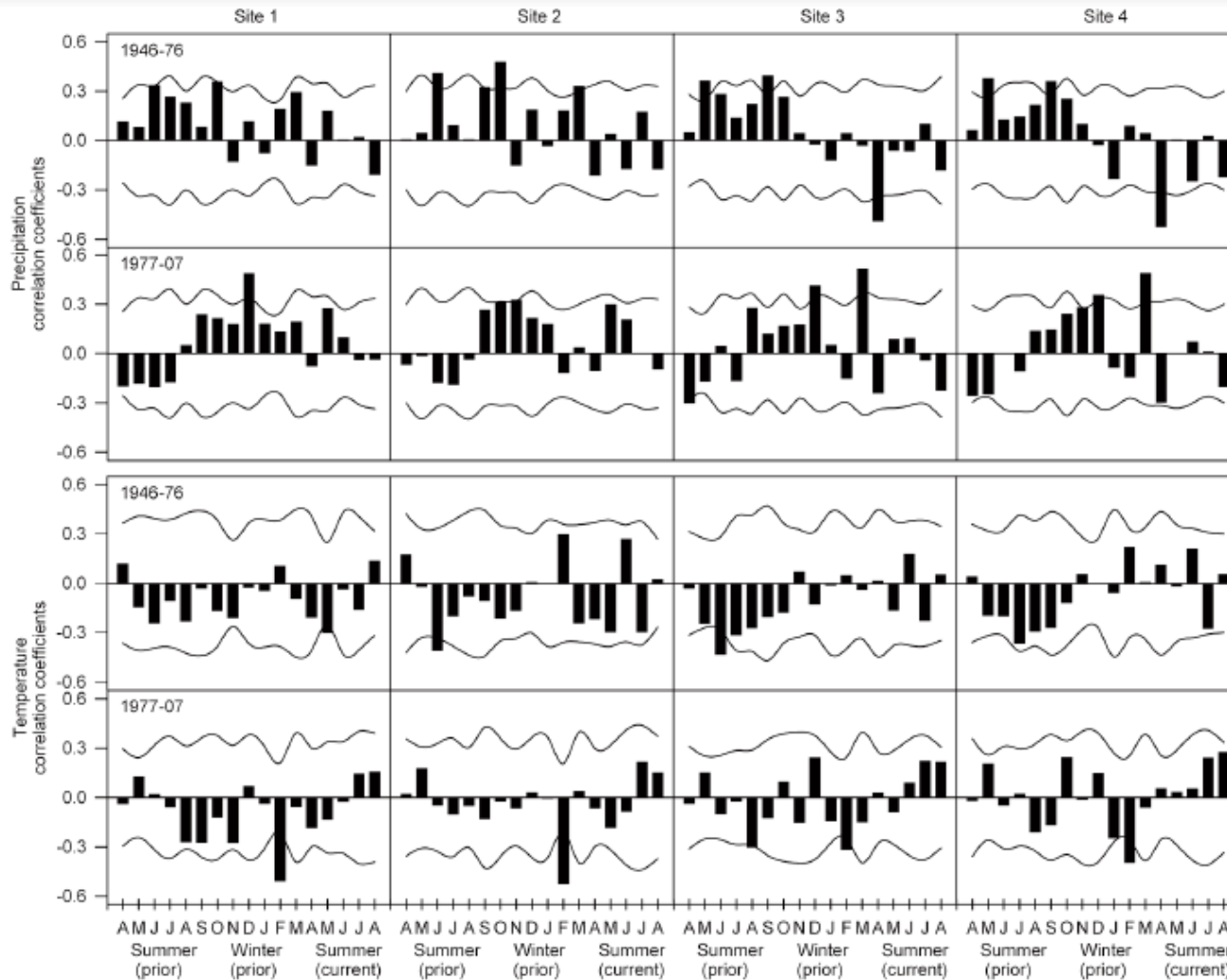


Photo: R. Bowmer, Associated Press

# 10. Exemple



Images: N. Mantua



**Fig. 1.** Comparison of correlation functions for monthly total precipitation (top) and monthly maximum temperature (bottom) and the residual chronologies for Sites 1–4 (left to right) between the negative (1946–1976) and positive (1977–2007) phases of the PDO. Bars are the correlation function coefficients and lines are the 95% confidence intervals.

Chavardès et al. (2012)

Pour lire les détails de l'article veuillez suivre:  
<https://pubs.cif-ifc.org/doi/abs/10.5558/tfc2012-098>

# Questions



Photo: P. Aki



Photo: Lamont-Doherty Earth Observatory



Photo: R. Chavardès



Photos: Centre d'étude de la forêt